

МАКРОСКОПИЧЕСКИЕ ХАРАКТЕРИСТИКИ  
УДЕРЖАНИЯ ПЛАЗМЫ В СТЕЛЛАРАТОРАХ  
TOP-1 и TOP-2

Д.К. Акулина, Э.Д. Андрюхина, М.А. Ивановский,  
Ю.И. Нечаев, С.Н. Попов, И.В. Солдатский,  
О.И. Федягин, Ю.В. Хольнов.

1. В работе приведены первые результаты исследования удержания плазмы в новых двухзаходных стеллаторах Физического института им. П.Н.Лебедева Академии наук СССР.

Стеллаторы TOP-1 и TOP-2 представляют собой тороидальные магнитные ловушки с двухзаходным винтовым магнитным полем. Особенностью установки TOP-2 является возможность изменения числа периодов винтового магнитного поля<sup>1</sup>.

Описание установок и основные физические параметры можно найти в работе<sup>2</sup>.

Магнитные измерения, проведённые на установках, показали<sup>3,4</sup>, что структура магнитного поля этих стеллаторов более совершенна, чем в стеллаторе Л-1<sup>5</sup>. Это достигнуто за счёт большей точности в изготовлении магнитной системы. На этих стеллаторах удалось достаточно близко подойти к предельно возможной величине угла вращательного преобразования для тороидальной системы, величина которого в соответствии с теорией определяется тороидальным возмущением и равна 25–30% от угла вращательного преобразования на сепараториссе<sup>6</sup>.

2. Эксперименты по исследованию плазмы были проведены для плазмы малой плотности (слабостолкновительный режим). Плазма создавалась искровой пушкой.

Основные параметры плазмы:  $n_e \approx 0,5 \div 1 \cdot 10^{11} \text{ см}^{-3}$ ,  
 $T_e \approx 2 - 4 \text{ эв}$ ,  $T_i \approx 20-30 \text{ эв}$ .

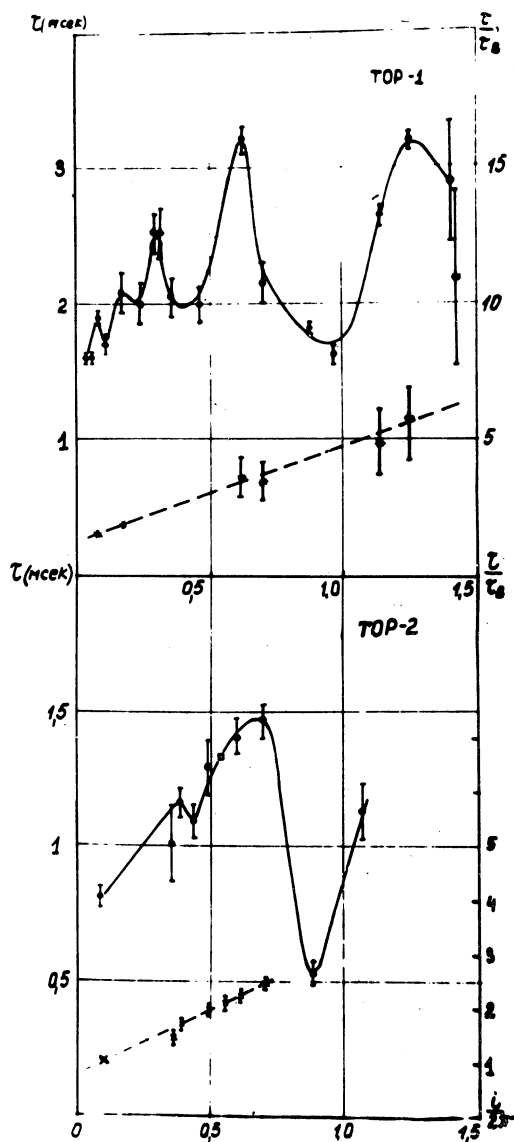
Распределение плотности по радиусу соответствует профилю обычного диффузационного распределения. Изменение плотности во времени (при уменьшении плотности примерно на порядок) носит экспоненциальный характер.

Одной из основных задач экспериментов в стеллаторах было выяснение влияния вращательного преобразования на удержание плазмы. Результаты экспериментов приведены на рис. 1. На графике представлена зависимость времени жизни плазмы  $\tau$  от угла вращательного преобразования на магнитной оси  $i(0)$ . Особенностью приведённого графика является: 1) Рост времени жизни при увеличении  $i(0)$ ; 2) Наличие провалов в кривой  $\tau(i)$  в областях углов  $i = \frac{\pi}{4}, \frac{\pi}{2}, \pi, 2\pi$ .

Уменьшению времени жизни соответствуют значения  $i(0)$ , при которых имеют место резонансные возмущения структуры магнитных поверхностей. Это свидетельствует о том, что структура магнитного поля оказывает весьма существенное влияние на поведение плазмы в ловушке.

Поскольку зависимость времени жизни плазмы от напряжённости магнитного поля почти линейная ( $H = 2-15 \text{ кэ}$ ), можно провести сравнение времени жизни плазмы с принятой масштабной единицей — "бомовским" временем жизни, определяемым как  $\tau_b(\text{сек}) = \frac{4 \cdot 10^5 r_0^2 (\text{см}) H (\text{кэ})}{T_e (\text{эв})}$ . На рис. 1 приведена зависимость отношения  $\frac{\tau}{\tau_b}$  от  $i$ .

с учётом того, что  $r_0$  — средний радиус граничной магнитной поверхности, определённый по магнитным измерениям, уменьшается с ростом  $i(0)$ . Пунктирная кривая соответствует



Р и с. 1. Зависимость времени жизни  $T$  от угла вращательного преобразования  $I(0)$  на оси. Пунктирной кривой представлена зависимость безразмерного

времени жизни  $\frac{T}{T_B}$ . ( $H = 6$  кэ,  $T_B = 2$  эв).

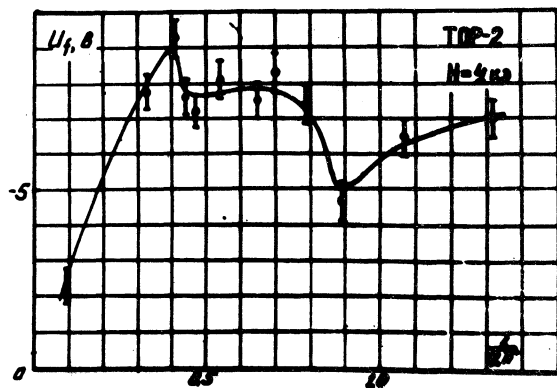
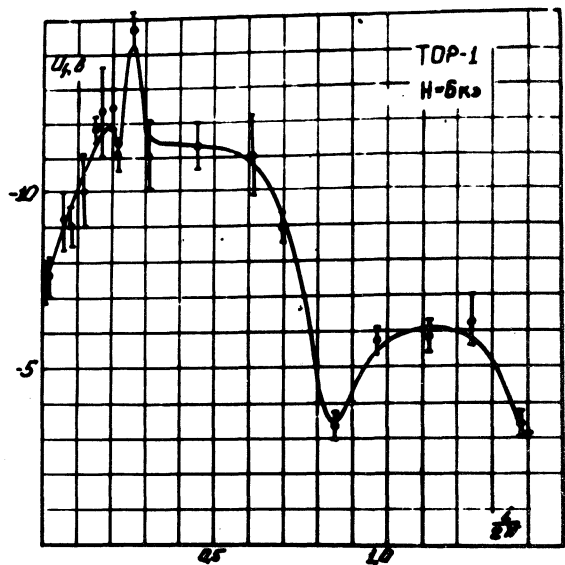
регулярной структуре магнитного поля, не возмущённой резонансами (т.е. максимумами сплошной кривой).

Как видно из рис. 1 функциональная зависимость времени жизни плаэмы в единицах "бомовского" времени жизни от угла  $\mathbf{i}(0)$  носит линейный характер.

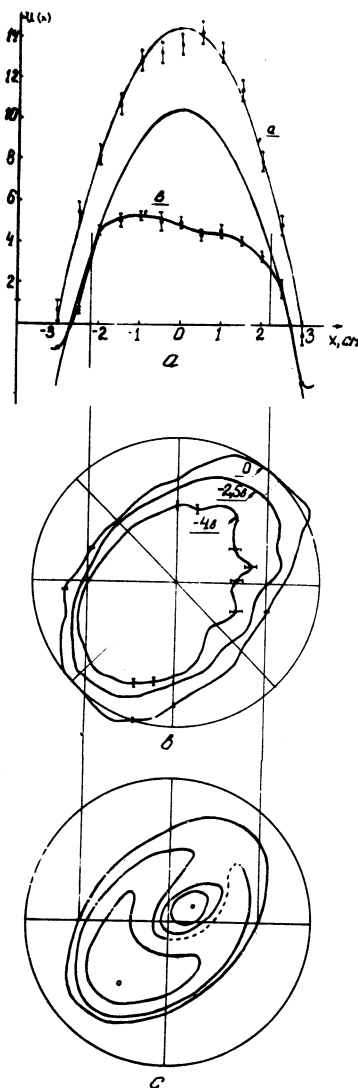
3. Амбиполярный характер диффузии плаэмы в замкнутых магнитных ловушках приводит к возникновению в плаэме электрических полей. На стеллараторах ТОР-1 и ТОР-2 были проведены измерения зависимости "плавающего" потенциала  $U_f$  от  $\mathbf{i}$ ,  $\mathbf{H}$ , а также снято распределение потенциала по сечению плаэмы. На рис. 2 приведена зависимость  $U_f(\mathbf{i})$ . Наблюдается отчётливая корреляция в зависимостях  $U_f(\mathbf{i})$  и  $\tau(\mathbf{i})$ .

В частности, следует обратить внимание на наличие провалов в кривой  $U_f(\mathbf{i})$ , которые соответствуют тем же резонансным значениям  $\mathbf{i}(0)$ . Электрическое поле в плаэме является отрицательным и его величина пропорциональна напряжённости магнитного поля.

4. Из приведённых экспериментальных данных следует, что время жизни  $\tau$  и потенциал плаэмы  $U_f$  сильно уменьшаются, если структура магнитного поля возмущена наличием резонансов. На рис.3 приведена картина магнитных поверхностей двухзаходного стеллатора ТОР-2 в случае первого резонанса ( $\mathbf{i} = 2\pi$ ). Внешние магнитные поверхности имеют эллиптическую форму. Наличие соответствующих гармоник внешних возмущений, период которых совпадает с периодом оборота силовой линии вокруг магнитной оси, приводит к расщеплению внутренних магнитных поверхностей и образованию розеток. Розеточная структура оказывает сильное влияние на распределение электрического поля и плотности по сечению камеры. На рис. 3 приведены измеренные распределения потенциала по радиусу и картина эквипотенциалей в области первого резонанса. Если в случае невозмущённых магнитных поверхностей распределение  $U_f(r)$  соответствует квадратичной параболе



Р и с. 2. Зависимость величины "плавающего" потенциала плазмы  $U_f$  от угла вращательного преобразования  $i(O)$ .



Р и с. 3. а) Распределение "плавающего" потенциала плазмы по радиусу для регулярной (кривая а) и резонансной (кривая в) структуры магнитного поля;  
 в) Картина эквипотенциалей;  
 с) Резонансная структура сечений магнитных поверхностей (первый резонанс  $i = 2\pi$  ).

боле (кривая а), то при наличии розеток кривая сильно деформируется (кривая в). Потенциал в центральной области практически постоянен, т.е. электрическое поле равно нулю. Кроме того, следует отметить, что во внешней области ( $r > 2$  см), эквипотенциали совпадают с магнитными поверхностями, а внутренняя область получается квазиэквипотенциальной.

Хотя для резонанса  $i = 2\pi$  уменьшение времени жизни грубо соответствует уменьшению диффузационной характерной длины (принятой равной поперечнику розетки), однако, по-видимому, физические причины, приводящие к уменьшению жизни, более сложны и многообразны. Вполне возможно, что наличие розеток приводит к образованию конвективных ячеек, а их перемешивание — к созданию зарегистрированной нами экви потенциальной области.

5. Заключение. Более совершенная структура магнитного поля стеллараторов ТОР-1 и ТОР-2 позволила проследить зависимость времени жизни плазмы в существенно большем диапазоне углов вращательного преобразования (вплоть до  $3\pi$ ), чем это было проделано ранее<sup>7</sup>. Измерения показали, что полученный ранее рост времени жизни продолжается и в области углов вращательного преобразования, больших  $2\pi$ , причём максимальное значение времени удержания превышает "бомовское" в 5–10 раз.

Точное знание структуры поля позволяет утверждать, что основной причиной, уменьшающей время жизни плазмы в областях  $i = \frac{\pi}{2}, \pi, 2\pi$ , является "розеточная" структура магнитных поверхностей.

На основании полученной линейной зависимости времени жизни плазмы от угла вращательного преобразования нельзя однозначно утверждать об отсутствии зависимости от шири или от характера движения локализованных частиц. Действительно, и шири, и относительная величина винтового поля (которая определяет движение

локализованных частиц) пропорциональны углу вращательного преобразования.

Авторы считают приятным долгом поблагодарить М.С. Рабиновича, И.С. Шпигеля, Л.М. Коврижных, И. С. Данилкина, С.Е. Гребенщикова за полезные дискуссии.

## Л И Т Е Р А Т У Р А

1. Попов С.Н., Попрядухин А.П. ЖТФ, 36, 3, 6 (1966).
2. "Стеллараторы Физического института им. Н.Н.Лебедева АН СССР" Препринт ФИАН № 57 (1969).
3. Андрухина Э.Д., Федянин О.И., Хольнов Ю.В. "Структура магнитного поля двухзаходного стелларатора ТОР-1". Препринт ФИАН № 118 (1969).
4. Ивановский М.А., Полов С.Н. "Исследование структуры магнитного поля стелларатора ТОР-2". Препринт ФИАН № 124 (1969).
5. Бережецкий М.С., Гребенников С.Е., Зверев Н.М., Шпигель И.С. "Труды Физического института им. Н.Н.Лебедева АН СССР" XXXII, 20 (1966).
6. Комин А.В., Красницкая Л.С., Минаев В.П. "Магнитные поверхности тороидального винтового поля вблизи сепаратрисы" Препринт № 225 ИЯФ СО АН СССР (1968).
7. Бережецкий М.С., Гребенников С.Е., Коссый И.А., Нечаев Ю.И., Рабинович М.С., Сбитникова И.С., Шпигель И.С. Proc. of Int. Conf. on Contr. Nucl. Fus. Res. (1968), D-5.
8. Коврижных Л.М. ЖЭТФ, 56, 3, 877 (1969).